



# TVORBA MAP POVODŇOVÉHO NEBEZPEČÍ A POVODŇOVÝCH RIZIK PRO OBLASTI POVODÍ HORNÍ VLTAVY, BEROUNKY A DOLNÍ VLTAVY

## DÍLČÍ POVODÍ HORNÍ VLTAVY

### B. TECHNICKÁ ZPRÁVA – HYDRODYNAMICKÉ MODELY A MAPY POVODŇOVÉHO NEBEZPEČÍ

MŽE – 10100016\_3 ř. km 88,00 – 93,00 (PV-6-3)



05.2013





OPERAČNÍ PROGRAM  
ŽIVOTNÍ PROSTŘEDÍ



EVROPSKÁ UNIE | Pro vodu,  
Fond soudržnosti | vzduch a přírodu

# TVORBA MAP POVODŇOVÉHO NEBEZPEČÍ A POVODŇOVÝCH RIZIK PRO OBLASTI POVODÍ HORNÍ VLTAVY, BEROUNKY A DOLNÍ VLTAVY

## DÍLČÍ POVODÍ HORNÍ VLTAVY

### B. TECHNICKÁ ZPRÁVA – HYDRODYNAMICKÉ MODELY A MAPY POVODŇOVÉHO NEBEZPEČÍ

MŽE – 10100016\_3 ř. km 88,00 – 93,00 (PV-6-3)

Pořizovatel:



Povodí Vltavy, státní podnik  
Holečkova 8  
Praha 5  
150 24

Zhotovitel: „DHI + HDP“



DHI a.s.  
Na Vrších 1490/5  
Praha 10  
100 00



Sweco Hydropunkt a.s.  
Táborská 31  
Praha 4  
140 16



OPERAČNÍ PROGRAM  
ŽIVOTNÍ PROSTŘEDÍ



EVROPSKÁ UNIE | Pro vodu,  
Fond soudržnosti | vzduch a přírodu

**Řešitel:**



HYDROSOFT Veleslavín s.r.o.

U Sadu 13/62

Praha 6

162 00



DHI a.s.

Na Vrších 1490/5

Praha 10

100 00

V Praze, 05 2013

**Obsah:**

|          |  |           |
|----------|--|-----------|
| <b>1</b> | <b>Základní údaje.....</b>   | <b>6</b>  |
| 1.1      | Seznam zkratek a symbolů .....   | 6         |
| 1.2      | Cíle prací.....  | 6         |
| 1.3      | Předmět práce .....  | 6         |
| 1.4      | Postup zpracování a metoda řešení .....  | 6         |
| <b>2</b> | <b>Popis zájmového území .....</b>   | <b>8</b>  |
| 2.1      | Všeobecné údaje .....  | 9         |
| 2.2      | Průběhy historických povodní (největší zaznamenané povodně) .....                                | 10        |
| <b>3</b> | <b>Přehled podkladů.....</b>   | <b>11</b> |
| 3.1      | Topologická data.....  | 11        |
| 3.1.1    | Vytvoření (aktualizace) DMT .....  | 11        |
| 3.1.2    | Mapové podklady.....   | 11        |
| 3.1.3    | Geodetické podklady .....  | 12        |
| 3.2      | Hydrologická data .....  | 12        |
| 3.2.1.   | Hydrologické poměry a jejich interpretace ve výpočtovém modelu.....                              | 13        |
| 3.3      | Místní šetření .....   | 13        |
| 3.4      | Doplňující podklady – technické a provozní informace, zprávy, studie, dokumenty, literatura..... | 14        |
| 3.5      | Normy, zákony, vyhlášky .....  | 14        |
| 3.6      | Vyhodnocení a příprava podkladů .....  | 14        |
| <b>4</b> | <b>Popis koncepčního modelu .....</b>  | <b>15</b> |
| 4.1      | Schematizace řešeného problému.....  | 15        |
| 4.2      | Posouzení vlivu nestacionarity proudění.....   | 15        |
| 4.3      | Způsob zadávání OP a PP .....  | 15        |
| <b>5</b> | <b>Popis numerického modelu .....</b>  | <b>16</b> |
| 5.1      | Použité programové vybavení.....   | 16        |
| 5.2      | Vstupní data numerického modelu.....   | 16        |
| 5.2.1    | Morfologie vodního toku a záplavového území.....   | 16        |
| 5.2.2    | Drsnosti hlavního koryta a inundačních území .....   | 19        |
| 5.2.3    | Hodnoty okrajových podmínek .....  | 19        |
| 5.2.4    | Hodnoty počátečních podmínek .....   | 19        |
| 5.2.5    | Diskuze k nejistotám a úplnosti vstupních dat .....  | 19        |
| 5.3      | Popis kalibrace modelu .....   | 20        |
| <b>6</b> | <b>Výstupy z modelu .....</b>  | <b>21</b> |
| 6.1      | Záplavové čáry pro průtoky $Q_5$ , $Q_{20}$ , $Q_{100}$ a $Q_{500}$ .....                        | 24        |
| 6.2      | Hloubky pro průtoky $Q_5$ , $Q_{20}$ , $Q_{100}$ a $Q_{500}$ .....                               | 24        |
| 6.3      | Rychlosti pro průtoky $Q_5$ , $Q_{20}$ , $Q_{100}$ a $Q_{500}$ .....                             | 24        |
| 6.4      | Zhodnocení nejistot ve výsledcích výpočtů .....  | 24        |

## 1 Základní údaje

### 1.1 Seznam zkratky a symbolů

V následující tabulce č.1 jsou abecedně seřazeny všechny zkratky a symboly použité při zpracování části B, Technická zpráva – hydrodynamické modely a mapy povodňového nebezpečí.

Tabulka č. 1 – Seznam zkratky a symbolů

| Zkratka   | Vysvětlení   |
|-----------|--|
| Bpv       | Výškový systém Balt po vyrovnání                               |
| ČHMÚ      | Český hydrometeorologický ústav                                |
| DMR4G     | Digitální model reliéfu České republiky 4. generace            |
| DMR5G     | Digitální model reliéfu České republiky 5. generace            |
| DMT       | Digitální model terénu   |
| DOP       | Dolní okrajová podmínka  |
| DPI       | Rozlišení dané počtem bodů na jeden palec ( 2,5cm)             |
| IDVT CEVT | Identifikátor vodního toku v Centrální evidenci vodních toků   |
| S_JTSK    | Souřadný systém jednotné trigonometrické sítě katastrální      |
| SOP       | Studie odtokových poměrů                                       |
| TPE       | Technicko provozní evidence                                    |
| VÚV TGM   | Výzkumný ústav vodo hospodářský T.G. Masaryka                  |
| ZABAGED®  | Základní báze geografických dat – digitální topografický model |
| ZM10      | Základní mapa 1:10 000   |
| ZÚ        | Záplavová území  |
| 1D model  | Matematický model jednorozměrného proudění                     |

### 1.2 Cíle prací

Cílem prací je vyjádření povodňového nebezpečí na základě stanovení těchto charakteristik průběhu povodně:

- hranice rozливů,
- hloubky vody v záplavovém území,
- rychlosti proudění vody v záplavovém území.

Podstatou vyjádření povodňového nebezpečí je určení prostorového rozdělení uvedených charakteristik povodně a zpracování těchto údajů do podoby tzv. map povodňového nebezpečí. Ty slouží v dalším kroku jako podklad pro vyjádření povodňového rizika semikvantitativní metodou uvedenou v „Metodice tvorby map povodňového nebezpečí a povodňových rizik“.

### 1.3 Předmět práce

Předmět práce zahrnuje tyto činnosti:

- Popis postupů souvisejících se zajištěním vstupních podkladů – stávající + nové (dodatečné zaměření profilů, objektů atd.)
- Sestavení (aktualizace) hydrodynamických modelů a příslušné simulace
- Zpracování výsledků numerického modelování a vytvoření map povodňového nebezpečí (mapy rozливů, hloubek a rychlostí).

### 1.4 Postup zpracování a metoda řešení

Výchozím podkladem pro zpracování studie byla data ze „Studie záplavového území - Mže“, provedená v prosinci 2006 společností Hydrosoft Veleslavín s.r.o.

Po prostudování poskytnutých dat byl proveden terénní průzkum. Požadavkem objednatele bylo použití výpočtové trati z původního modelu z roku 2006. V průběhu terénního průzkumu byl posouzen rozsah

geodetických prací z původní studie pro potřeby průtoku  $Q_{500}$ . Bylo rozhodnuto, že další doplňující geodetické zaměření nebude požadováno.

S ohledem na 5- letou platnost hydrologických dat bylo nutné v zájmovém profilu hydrologická data (průtoky n-letých vod) vydávaných ČHMÚ nechat znovu ověřit.

Výpočty byly prováděny programem Hydrocheck jako ustálené nerovnoměrné proudění. Po sestavení výpočetní trati z geodetických podkladů z TPE byla celá výpočetní trať zkонтrolována tak, aby mohly být provedeny výpočty  $Q_{500}$ . Z tohoto důvodu bylo v několika případech potřeba rozšířit údolní profily nad úroveň geodetického zaměření. K tomuto účelu byl použit výškový model terénu vytvořený v programu Atlas - DMT na datech z DMR 5G.

Hydraulické výpočty byly provedeny pro průtoky  $Q_5$ ,  $Q_{20}$ ,  $Q_{100}$ ,  $Q_{500}$  a výsledky těchto výpočtů byly zpracovány v programu Atlas - DMT. Výsledkem byla hrubá mapa hloubek, která sloužila jako jeden z podkladů pro vynášení záplavových čar. Dalšími podklady byly výsledky programu Hydrocheck (průběh hladin v příčných profilech) mapový podklad, fotodokumentace a především znalost zájmového území.

Po správném vnesení záplavových čar byla hrubá mapa hloubek oríznuta těmito polygony a vznikla již čistá mapa hloubek a mapa hladin ve formátu předávaném do CDS.

Výsledky jsou prezentovány v podobě map povodňového nebezpečí v kapitole 6.

## 2 Popis zájmového územia

## Název toku: Mže

ID úseku IDVT CEVT: 10100016 3

*Číslo hydrologického pořadí toku: 1-10-01-0160, 1-10-01-0142*

**Úsek toku:** ř. km: 88,00 – 93,00

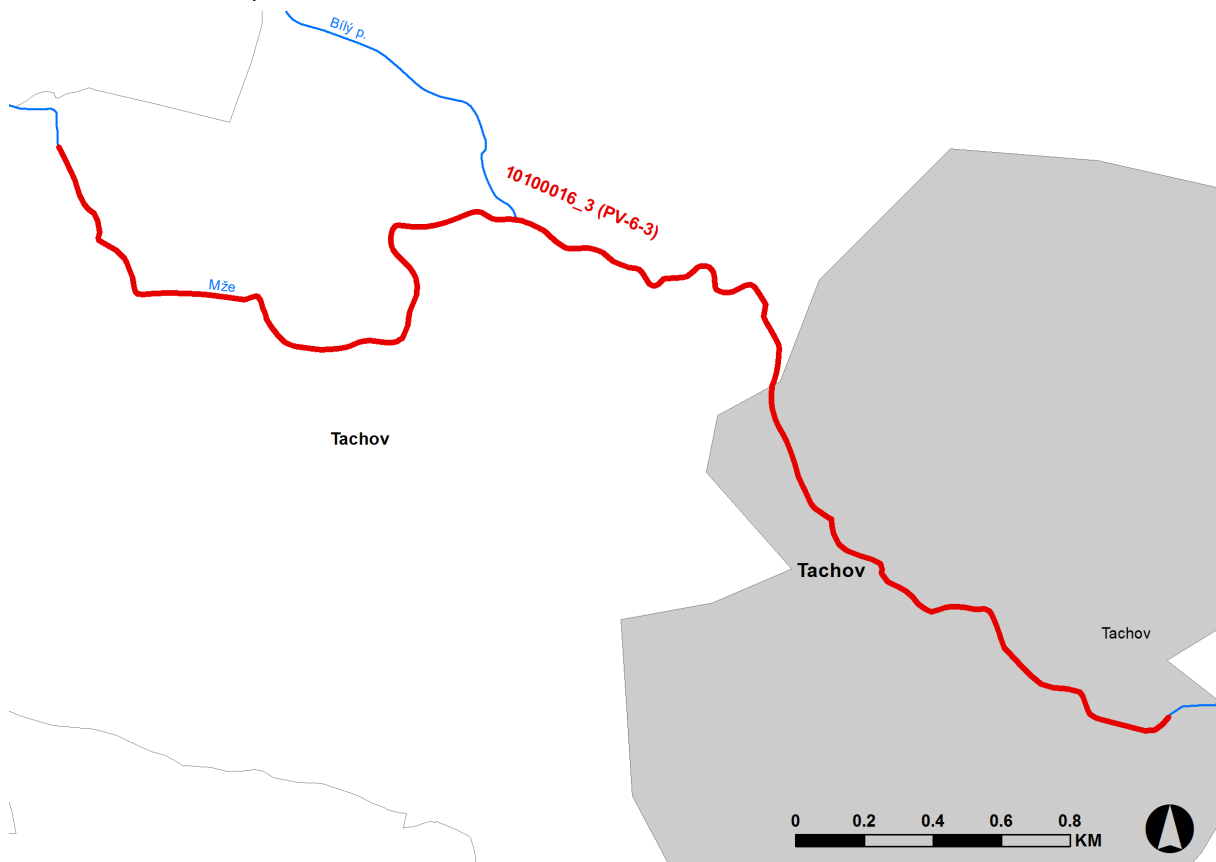
## Významná vodní díla: VD Lučina

### Významné přítoky: Bílý potok, Brtný potok

Posuzovaný úsek Mže byl určen od ř. km 88,00 (Lomnický mlýn - jez) do ř. km 93,00 (Světec - mostek) dle kilometráže poskytnuté objednatelem studie a přesně vymezen zadánými souřadnicemi začátku a konce toku:

začátek: x = -872386,63 y = -1056351,80  
konec: x = -876406,00 y = -1054896,85

Obr. 1 – Přehledná mapa řešeného území



*Podklady:*

Název toku - zdroj VÚV TGM

ID úseku IDVT CEVT - zdroj Ministerstvo zemědělství

Číslo hydrologického pořadí toku - zdroj ČHMÚ

Úsek toku - zdroj Povodí Vltavy s.p.

Významná vodní díla - zdroj ZM10

Významné přítoky - zdroj ZM10

## 2.1 Všeobecné údaje

Mže pramení v nadmořské výšce 726 m n. m. na území Německa v Griebašském lese asi 1 km od osady Asch severozápadně od Tachova. Na krátkém úseku tvoří státní hranici a po 3 km toku v nadmořské výšce 639,71 m n. m. vstupuje na území ČR. Dále pokračuje jihovýchodním až východním směrem a protéká městy Tachovem, Stříbrem, Plzní. V Plzni se Mže v nadmořské výšce 301 m n. m. spojuje s Radbužou a od tohoto místa nese název Berounka, která se dále vlévá do Vltavy a Labe.

Nejvýznamější vodní díla na Mži jsou VD Hracholusky ř. km 22,670 a VD Lučina ř. km 93,350. VD Hracholusky slouží jako rekreační nádrž a ke stejnemu účelu je využívána většina délky Mže, tedy od VD Hracholusky až po ústí na soutoku s Hamernickým potokem. VD Lučina v údolí západně od Tachova zásobuje Tachovsko pitnou vodou. Obě VD mohou ovlivnit odtokové poměry, ale s ohledem na možné kombinace povodňových situací nebylo ovlivnění povodňových průtoků uvažováno. Kromě těchto vodních děl je v povodí Mže 198 vodních ploch větších než 1 ha.

Nad Tachovem je občasná zástavba kolem toku se zahradami zasahujícími až k toku, nebo loukami. V úseku pod VD Lučina je lesní úsek bez zástavby. Ve městě Tachov je souvislá zástavba a upravené koryto. Mezi Tachovem a Ústím se využití území mění a až do Ústí rekreační využití toku není. S vyjímkou města Stříbra a několika obcí nad Stříbrem je vodní tok sevřený v úzkém údolí a inundace je zde široká 50 – 100 m, ale i méně. Někde je tok sevřen skalními břehy až přímo k vodě. Okolní svahy jsou zalesněné až k hraně inundace, nebo až přímo k toku. Není – li inundace zalesněna je většinou tvořena loukami, které jsou místy sečené a udržované, ale velmi často leží ladem, inundace je zcela zarostlá a zcela nepřístupná. Téměř v celém úseku jsou podél toku chatové osady, celá řada leží v záplavovém území i aktivní zóně.

Významnou úlohu při transformaci povodňové vlny má i vegetace v inundaci. Lesy opět až na lokální výjimky zlepšují odtokové poměry.

Charakterem území, kterým Mže protéká, jsou dány i její sklonové poměry. Absolutnímu spádu zájmového úseku odpovídá průměrný relativní sklon 0,30%. Sklon však není zcela vyrovnaný lze jej rozdělit na následující úseky s průměrným sklonem od 0,15% do 0,80%.

| Úsek  | sklon   |
|---|---------|
| Konec vzdutí VD Hracholusky – Milíkov, Máhovo údolí | 0,00180 |
| Milíkov, Máhovo údolí – Černý mlýn                  | 0,00210 |
| Černý mlýn – Jez Pavlovice                          | 0,00620 |
| Jez Pavlovice – most Kočov                          | 0,00150 |
| Most Kočov – most Klíčov                            | 0,00390 |
| Most Klíčov – železniční most Tachov                | 0,00270 |

|  |        |
|--|--------|
| Železniční most Tachov – silniční most nad zámkem Tachov | 0,0027 |
| Silniční most nad zámkem Tachov – VD Lučina              | 0,0080 |

Odtokový režim Mže je průběžně sledován ve čtyřech hlásných profilech ČHMÚ kategorie A a B - pod VD Lučina, Kočov, Stříbro, pod VD Hracholusky.

## 2.2 Průběhy historických povodní (největší zaznamenané povodně)

Na Mži proběhly v první polovině roku 2006 tři veké povodně, které po sobě zanechaly značné povodoňové stopy. K termínu zpracování studie však nebyly k dispozici žádné zaměřené povodňové značky, ani hydrologické vyhodnocení povodně, které by významně pomohly ke kalibraci modelu. Povodňových stop tedy bylo využito pouze při návrhu záplavových čar a aktivní zóny.

Ze starších povodní bylo k dispozici několik povodňových značek z povodně 2002, které byly při kalibraci modelu zohledněny. Pro přesnou kalibraci modelu však bylo značek málo.

### 3 Přehled podkladů

V souladu s vyhláškou č. 236/2002 Sb. byly použity pro zpracování návrhu záplavového území tyto podklady. Pravidla pro citace podkladů se řídí dle ČSN ISO 690 (01 0197).

- Základní mapy 1 : 10 000 – digitální, rastrové – ZAGAGED, poskytlo Povodí Vltavy, s.p.
- Výskopisná data DMR 4G, copyright ČZÚK, a.s., 2011-2012
- Výskopisná data DMR 5G, copyright ČZÚK, a.s., 2011-2012
- Geodetické zaměření – příčné profily, podélný profil, provedla firma GEOPLAN s. r. o. v roce 2003
- Výsledky hydraulické výpočtu nerovnoměrným prouděním (program Hydrocheck)
- Hydrologická data: N-leté průtoky – ČHMÚ Plze
- Hydrologické poměry ČSSR III. díl, HMÚ Praha 1970
- Podrobný terénní průzkum zpracovatele, uskutečněný v říjnu 2012 zaměřený na zmapování stavu koryta a břehů se zřetelem na místní překážky a další relevantní faktory
- Průvodní zpráva „Studie záplavového území - Mže“, Hydrossoft Veleslavín s.r.o., prosinec 2006
- Zákon č. 257/2001 Sb. - o vodách
- Vyhláška MŽP 236/2002 Sb. – o způsobu a rozsahu zpracování návrhu a stanovování záplavových území
- Geomorfologie Českých zemí, Jaromír Demek a kol., AC 1965
- Vyšší geomorfologické jednotky České republiky, Český úřad zeměměřický a katastrální, Praha 1996
- Metadata poskytnutá Zeměměřičským ústavem k aktuální verzi ZM 10
- Atlas podnebí ČSSR, ČHMÚ
- Wikipedie

#### 3.1 Topologická data

Topologická data jsou základním zdrojem, který je potřebný pro sestavení hydrodynamického modelu. Pomocí nich je možné popsat řešené území, sestavit digitální model terénu a vytvořit vhodnou schematizaci modelu. Jednotlivé topologické podklady jsou popsány v následujících kapitolách.

##### 3.1.1 Vytvoření (aktualizace) DMT

Digitální model terénu byl sestaven z Digitálního modelu reliéfu České Republiky 5. Generace (DMR 5G). Dno toku bylo vymodelováno pomocí lineární interpolace zaměřených příčných profilů s akceptováním směrového vedení toku. K tomuto kroku byl použit software DMT ATLAS. Sestavení DMT včetně generování map hladin a map hloubek proběhlo též v softwaru DMT ATLAS. Výstupy byly vygenerovány jako ASCII GRID pixelu 2m x 2m. Všechny souřadnice DMT jsou v polohopisném systému S\_JTSK a výškovém Bpv.

##### 3.1.2 Mapové podklady

Pro potřeby studie byla vybrána Základní mapa České republiky 1:10 000 (ZM 10) aktualizovaná Zeměměřickým úřadem v roce 2011. Jedná se o nejpodrobnější základní mapu středního měřítka.

ZM 10 obsahuje polohopis, výškopis a popis. Předmětem polohopisu jsou sídla a jednotlivé objekty, komunikace, vodstvo, hranice správních jednotek a katastrálních území (včetně územně technických jednotek), hranice chráněných území, body polohového a výškového bodového pole, porost a povrch půdy. Předmětem výškopisu je terénní reliéf zobrazený vrstevnicemi a terénními stupni. Popis mapy sestává z druhového označení objektů, standardizovaného geografického názvosloví, kót vrstevnic, výškových kót, rámových a mimořámových údajů. Obsahem mapových listů je i rovinář pravoúhlá souřadnicová síť a zeměpisná síť. Předměty obsahu mapy jsou znázorněny pouze na území České republiky. Míra generalizace polohopisu je na takové úrovni, že nedochází k

rozsáhlejšímu spojování jednotlivých staveb do bloků a ke zjednodušování tvarů. Mapa tak poskytuje velmi podrobnou představu o zobrazovaném území.

Data ZM 10 se stavem aktualizace v roce 2009 a dříve byly odvozovány z vektorových výstupů, které vznikaly v průběhu tvorby vizualizací ZABAGED®. Jejich rasterizaci a následnou transformací do souřadnicového systému S-JTSK vznikl obraz státního území, který byl strukturován po listech ZM 10. Dalším zpracováním byla pořízena barevná bezešvá rastrová mapa s barevnou hloubkou 4 bit, jednotnou barevnou paletou a hustotou 400 dpi. Z důvodu nižší kvality rozlišení těchto výstupů bylo v roce 2011 přistoupeno k nahrazení těchto souborů novými rastry, které vznikly přímým odvozením z tiskových podkladů ZM 10. Tyto rastry mají barevnou hloubku 24 bit a rozlišení 800 dpi. Data ZM 10 se stavem aktualizace v roce 2010 a později jsou odvozovány přímo z postscriptových souborů nové technologické linky. Tyto soubory jsou službou aplikačního serveru rastrovány s rozlišením 800 dpi, barevnou hloubkou 8 bit a jednotnou barevnou paletou. Do doby pokrytí celého území ČR soubory z nové technologické linky budou uživatelům poskytovány vždy obě datové sady. Tvorbu a aktualizaci ZM 10 zajišťuje Zeměměřický úřad.

ZM 10 je distribuována ve formátu TIF po segmentech bezešvé mapy – čtvercích 2x2 km, se stranami rovnoběžnými se souřadnicovými osami S-JTSK.. Kromě grafického umisťovacího souboru je dodáván textový umisťovací soubor TFW a to pro zobrazení S-JTSK / Krovak EN. Tento soubor obsahuje souřadnice levého horního rohu umisťovacího čtverce a velikost pixlu v metrech pro dané rozlišení souboru. Předané soubory TIF mají rozlišení 3149x3149 (72DPI).

### 3.1.3 Geodetické podklady

Jak již bylo zmíněno v kapitole 1.4. nebylo nutné provádět žádné nové geodetické zaměření. Výpočetní trať vychází z upravené původní výpočetní trati z roku 2006. Pro zpracování tohoto modelu bylo použito několik geodetických podkladů, které prováděly různé firmy v různém období a různou technologií. Zdroje dat byly tyto:

|         |                       | rok měření | ř.km            | Úsek toku                                |
|---------|-----------------------|------------|-----------------|--|
| Geodis  | DMT z fotogrametrie   | 2002       | 22,670 - 50,500 | VD Hracholusky - Milíkov                 |
| Gefos   | geodetické měření TPE | 2005       | 50,500 - 87,000 | Milíkov - Oldřichov + objekty ve Stříbře |
| Geoplan | geodetické měření TPE | 2003       | 87,000 - 96,350 | Oldřichov - VD Lučina                    |

Pro přesnější vynesení průběhu záplavových čar byla k dispozici data z leteckého snímkování DMR 5G, která poskytlo Povodí Vltavy.

Jiné výskopisné podklady nebyly pro zpracování studie k dispozici.

## 3.2 Hydrologická data

Název hydrologického profilu: Mže pod Bílým potokem, Mže nad Bílým potokem

Datum pořízení: xx

Říční kilometr: ř. km 91,645; 93,160

Třída přesnosti dle ČSN 75 1400: II

Velikost plochy povodí k profilu: 125,41, 114,80 km<sup>2</sup>

Číslo hydrologického povodí: 1-10-01-0160, 1-10-01-0142

N-leté průtoky: viz. tabulka č.3

Tabulka č.3 - N–leté průtoky ( $Q_N$ ) v  $m^3.s^{-1}$

| Hydrologický profil   | Datum pořízení | Říční kilometr | $Q_5$ | $Q_{20}$ | $Q_{100}$ | $Q_{500}$ | Třída přesnosti |
|-----------------------|----------------|----------------|-------|----------|-----------|-----------|-----------------|
| Mže pod Bílým potokem | xx             | 91,645         | 20    | 37,5     | 66,5      | 104       | II              |
| Mže nad Bílým potokem | xx             | 93,160         | 19,2  | 36,1     | 64,1      | 100       | II              |

### 3.2.1. Hydrologické poměry a jejich interpretace ve výpočtovém modelu

Pro zpracování studie byly použity základní hydrologické údaje ČHMÚ. V souladu s podmínkami zadání uplatnil řešitel tato data v hydraulických výpočtech vložením prvků se změnami hydrologických údajů do výpočtového modelu viz. tab. č. 3a. Implementovány do modelu byly prostřednictvím tzv. hodnot delta Q (dále jen dQ). Hodnoty dQ jsou rozdíly příslušných průtoků v jednotlivých uvedených profilech a reprezentují tedy úbytky průtoků v nich. Tyto změny průtoků jsou uvedeny v psaném podélém profilu a prvky pro jejich zadávání jsou součástí výpočtového modelu Hydrocheck.

Tabulka č.3a - Rekapitulace rozdělení hydrologických dat ve výpočtovém modelu

| zdroj              | Profil                                  | od - do<br>ř.km | N–leté průtoky ( $Q_N$ ) v $m^3.s^{-1}$ |   |      |    |      |    |      |     |
|--------------------|---|-----------------|---|---|------|----|------|----|------|-----|
|                    |   |                 | 1                                       | 2 | 5    | 10 | 20   | 50 | 100  | 500 |
| DOP                | Mže nad soutokem se Sedlišťským potokem | 82,844 – 87,938 |   |   | 27   |    | 47,3 |    | 81,3 | 129 |
| dQ <sub>T03</sub>  | Mže nad soutokem s Brtným potokem       | 87,938 – 91,645 |   |   | 20,9 |    | 39,4 |    | 69,8 | 110 |
| dQ <sub>J15</sub>  | Mže pod Bílým potokem                   | 91,645 – 93,160 |   |   | 20   |    | 37,5 |    | 66,5 | 104 |
| dQ <sub>MT17</sub> | Mže nad Bílým potokem                   | 93,160 – 94,230 |   |   | 19,2 |    | 36,1 |    | 64,1 | 100 |

Hydrologická data Mže nad soutokem se Sedlišťským potokem a Brtným potokem byla převzata z původní studie z roku 2006.

### 3.3 Místní šetření

Místní šetření probíhalo v říjnu 2012 a byla zpracována podrobná fotodokumentace. Každá fotografie je časově a prostorově lokalizovaná. Součástí fotodokumentace jsou i fotky ze starších studií. Lokalizace starší fotodokumentace nebyla dodatečně prováděna, v některých případech ale byly i starší fotky lokalizované.

Cílem místního šetření bylo:

- a) posouzení nutnosti doplňujícího geodetického zaměření. V případech rekonstrukcí objektů či vlastního koryta či jakékoli změně v korytě či inundačním území bylo posuzováno, zadali je, nebo není potřeba provést nové zaměření. Výsledek šetření je popsán v kapitole 3.1.3 Geodetické podklady.
- b) posouzení drsnostních charakteristik. Cílem průzkumu bylo mimo jiné i posouzení drsnostních charakteristik, zejména v inundaci, kde se odtokové parametry mohly změnit novou výstavbou. Dále bylo potřeba určit drsnostní charakteristiky v území potenciálně zaplaveném povodní  $Q_{500}$ .
- c) posouzení morfologie terénu z pohledu průtoku  $Q_{500}$ . Bylo nutné rozhodnout, zdali bude nutné rozširovat profily původního modelu, či nikoliv. Ne vždy se celá se inundace podílí na průtoku. Na základě průzkumu byly některé profily v době sestavování modelu, proti původní studii rozširovány z výškopisu DMR 5G.
- d) posouzení objektů z pohledu průtoku  $Q_{500}$ . Původní modely nepočítaly s tak velkým průtokem. Bylo tedy nutné posoudit průtokové parametry objektů i při této extrémní povodni. U některých objektů byly na základě pořízené fotodokumentace upraveny průtokové koeficienty či další parametry objektu, například rozsah zasahování mostovky do průtočného profilu.
- e) posouzení ohrožení zaplavovaného území povodní. Tato část průzkumu měla za úkol pořídit fotodokumentaci ohrožených objektů v inundaci tak, aby později bylo možné rozhodovat, zda a v jakém rozsahu bude nemovitost ohrožena. Jedná se zde ale o doplňkovou informaci pro analýzy v GIS a v žádném případě se nejedná o evidenci a podrobnou dokumentaci jednotlivých objektů zasažených vodou.

Při stavbě modelu pak byla pořízená fotodokumentace významným nástrojem pro rozhodování kde a jak model upravovat.

### **3.4 Doplňující podklady – technické a provozní informace, zprávy, studie, dokumenty, literatura**

V průběhu zpracování nebyly poskytnuty žádné další podklady.

### **3.5 Normy, zákony, vyhlášky**

Postupy zpracování studie byly v souladu s níže uvedenými dokumenty v jejich platném znění:

- [1] ČSN 75 0110 Vodní hospodářství – Terminologie hydrologie a hydroekologie
- [2] ČSN 75 1400 Hydrologické údaje povrchových vod.
- [3] ČSN 75 2410 Malé vodní nádrže.
- [4] Zákon č. 240/2000 Sb. o krizovém řízení a změně některých zákonů (krizový zákon).
- [5] Nařízení vlády č. 462/2000 Sb., k provedení §27 odst. 8 a §28 odst. 5 zákona č. 240/2000 Sb., o krizovém řízení a o změně některých zákonů (krizový zákon).
- [6] Vyhláška MŽP 236/2002 Sb., o způsobu a rozsahu zpracovávání návrhu a stanovování záplavových území.
- [7] Vyhláška č. 470/2001 Sb., kterou se stanoví seznam významných vodních toků a způsob provádění činností souvisejících se správou vodních toků.
- [8] Zákon č. 114/1992 Sb., o ochraně přírody a krajiny.

### **3.6 Vyhodnocení a příprava podkladů**

Poskytnuté podklady plně pokryly zájmové území. Geodeticky zaměřené příčné profily musely být místy rozšířeny, aby provedly extrémní průtok  $Q_{500}$ . Pro rozšíření profilů bylo použito podkladu DMR 5G, jehož přesnost je pro potřeby modelu v okrajových částech inundace dostatečná.

## 4 Popis koncepčního modelu

Základním požadavkem na zpracování záplavových území je provádění výpočtů metodou ustáleného nerovnoměrného proudění. Pro tento typ výpočtů je vhodný program HYDROCHECK verze 5.X, který používáme.

Jedná se o programový prostředek vyvinutý společností Hydrosoft Veleslavín s.r.o. v devadesátých letech ve spolupráci s Podniky povodí. Řeší ustálené nerovnoměrné proudění v otevřených neprizmatických korytech v režimových oblastech říčních i bystřinných. Základem řešení nerovnoměrného proudění je obecná metoda po úsecích. Významné objekty byly počítány funkciemi programu Hydrocheck jako objekty.

Program Hydrocheck je mimo jiné vhodným nástrojem pro posuzování aktivní zóny, či hodnocení map rizik, neboť umožňuje vyhodnocování svislicových rychlostí v příčném řezu. Díky tomu je možné vyhodnocovat rychlosti v inundaci a vytvářet mapu rychlostí jako plošnou informaci, nikoliv jen bodovou.

### 4.1 Schematizace řešeného problému

Schéma modelu je poměrně jednoduché. Koryto prochází prakticky v celém zájmovém úseku údolnicí a inundace není široká. Nebylo tedy nutné zpracovávat dílčí úseky toku jako okruhovou síť. Vzdálenosti příčných profilů v intravilánu jsou cca 50m, v extravilánu cca 200 až 250 metrů, v místech, kde to bylo potřeba hustěji.

### 4.2 Posouzení vlivu nestacionarity proudění

Vliv nestacionarity je ve výpočtech zanedbán. Studie je zpracována metodou stacionárního nerovnoměrného proudění, což je v souladu s požadavky objednatele.

### 4.3 Způsob zadávání OP a PP

Jelikož se jedná o výpočet ustáleného nerovnoměrného proudění v říčním korytě, zadává se okrajová podmínka v dolním výpočtovém profilu v podobě hladiny a průtoku. V místě významných přítoků, pro které jsou k dispozici hydrologické údaje, se zadává změna průtoku. Jiné okrajové ani počáteční podmínky výpočtu se nezadávají.

## 5 Popis numerického modelu

### 5.1 Použité programové vybavení

Vlastní výpočty byly prováděny metodou ustáleného nerovnoměrného proudění v programu HYDROCHECK 5.X, který se osvědčil při výpočtech obdobných studií. Základní výhodou tohoto programu je možnost rozdělení příčného profilu na libovolné segmenty podle charakteru proudění v jednotlivých částech příčného profilu. Program zobrazuje i podrobné rozdělení rychlostí v příčném profilu a rozdělení aktivní zóny v příčném profilu.

Pro výpočty konzumpčních křivek významných objektů byl použit nástroj - výpočty objektů, který je přímou součástí programu HYDROCHECK 5.X.

Kromě metody nerovnoměrného proudění bývá užíváno i nástrojů rovnoměrného proudění pro stanovení konzumpční křivky dolní okrajové podmínky.

Pro vynášení záplavových čar z vypočtených úrovní hladin do mapového podkladu je využíváno funkcí Hydrochecku, který generuje vypočtené průsečíky hladin v profilech do mapy.

### 5.2 Vstupní data numerického modelu

Základem prací na studii je podrobný terénní průzkum. Na základě terénního průzkumu a kvalitní fotodokumentace jsou určeny drsnostní charakteristiky a později vynášeny záplavové čáry a aktivní zóna.

Podkladem pro práci bylo podrobné geodetické zaměření v rozsahu potřebném pro jednorozměrný matematický model, tedy příčné a údolní profily a veškeré objekty. Kromě toho byly pro vynášení záplavové čáry a aktivní zóny použity všechny měřené body v rámci TPE.

Základním prvkem zadání je příčný profil - jeho geometrický tvar a rozměry, včetně součinitele drsnosti omočeného profilu.

Průtočný profil je možno rozdělit pomocí fiktivních svislic na vlastní koryto a přilehlé části inundace, ohraničené svislými rovinami, vedenými například v linii břehové hrany koryta. Jednotlivé části příčného profilu mají různou drsnost a s tím souvisí i různé rychlosti proudění a výsledné poloha hladiny vody v profilu.

Na základě fotodokumentace a poznámek získaných při rekognoskaci terénu byly voleny hodnoty Manningova drsnostního součinitele n pro jednotlivé části omočeného profilu.

Kromě vytvoření geometrického modelu říční sítě včetně objektů je pro simulace nerovnoměrného proudění nutné zadat okrajové podmínky. Jedná se především o průtok a označení počátečního (popřípadě koncového) profilu, ve kterém má být průběh proudění řešen. Dále se zadává hladina v počátečním profilu, pokud není zvolen režim jejího automatického výpočtu z konzumpční křivky.

#### 5.2.1 Morfologie vodního toku a záplavového území

##### *Pod železničním mostem – ZT04 ř. km 89,950*

Koryto v úseku pod železničním mostem v Tachově neleží v údolnici a výpočet hladin v tomto úseku je schématisován. Vypočtené hladiny odpovídají skutečným hodnotám v inundaci. V korytě bude hladina vyšší a pro Q<sub>5</sub> až Q<sub>500</sub> bude odpovídat kapacitě levé břehové hrany. ČOV Tachov v ř. km 88,900 leží uprostřed inundace. Provozu ČOV je navržena na ochranu větší než Q<sub>100</sub> a měla by odolat i povodni Q<sub>500</sub>.



V ř. km 89,300 je několik výrobních objektů, které jsou v záplavě Q<sub>5</sub>.

Poslední lokalitou pod železničním mostem v Tachově je rozsáhlá chatová osada na levém břehu v ř. km 88,800 až 90,000. Velká část této osady je v záplavě Q<sub>20</sub> a Q<sub>100</sub>.



#### **ř.km 89,950 – 90,890 profily ZT04 – MT12**

Železniční most v Tachově ř. km 90,000 má tři otvory. Kromě vlastního toku ještě dva inundační. Tento most je plně kapacitní na Q<sub>100</sub> s dostatečným převýšením. Koryto zde však kapacitní není a provede sotva Q<sub>5</sub>. Průtok větší než Q<sub>20</sub> již zaplaví nemovitosti na levém břehu.



Dalším významným objektem je silniční most cca 100 nad železničním mostem. Tento most, který má tři klenutá pole je nekapacitní a s volnou hladinou neproveďe větší vodu než Q<sub>20</sub>. Při větších vodách se voda nad mostem vzduje, zaplaví okolní nemovitosti a přelije se přes ulici. Aktivní zóna nad tímto mostem podle všech parametrů zůstane v korytě a neohrozí okolní nemovitosti. Nemovitosti na pravém břehu mezi mostem a jezem jsou v Q<sub>100</sub>, ale nejsou v aktivní zóně.



V úseku mezi mosty MT06 až MT10 – ř. km 90,100 až 90,700 je koryto částečně upravené a kapacitní na Q<sub>10</sub> až Q<sub>20</sub>. Větší vody se vylijí z koryta na oba břehy a zaplaví přilehlé zahrady a nemovitosti.



Úsek mezi mosty MT10 až MT12 – ř. km 90,700 až 91,00. V tomto úseku je provedena úprava téměř na  $Q_{100}$ . Koryto i všechny mosty jsou na  $Q_{100}$  kapacitní, i když pouze most MT11 provede  $Q_{100}$  s volnou hladinou a ostatní mosty budou mít zaplavenou mostovku a budou vzdouvat vodu. Nelze tedy vyloučit, že dojde při  $Q_{100}$  k přelití břehů, především na pravém břehu nad mostem MT10.



#### Nad mostem MT12 ř.km 90,890

V tomto úseku je koryto nekapacitní a provede sotva  $Q_5$ . Přímo nad mostem je na pravém břehu několik nemovitostí ohrožovaných průtokem  $Q_{100}$ , některé již při  $Q_{20}$ . Na pravém břehu podél sportovišť byla upravena komunikace a okolní terén tak, že zde nehrozí ohrožení sportovišť ani při  $Q_{100}$ .



Na levém břehu pod jezem JT15 ř.km 91,595 je již při povodni  $Q_{20}$  zaplavována celá řada nemovitostí.



Nad jezem JT15 je inundace poměrně široká a nekapacitní. Žádné nemovitosti ale nejsou v záplavě  $Q_{500}$ .

## 5.2.2 Drsnosti hlavního koryta a inundačních území

Vzhledem k tomu, že nová verze programu Hydrocheck umožňuje zadávání drsností nepřímo pomocí kódů, byl změněn způsob práce s drsnostmi. Dříve bylo jen velmi těžké měnit bodové drsnosti v profilech z tohoto důvodu byly vyplňovány bodové drsnosti pouze mimo koryto a v korytě byla používána globální drsnost, kterou bylo možné v celém úseku trati snadno změnit.

Nyní jsou vyplňovány všechny drsnosti v celém příčném profilu a snadná možnost korigovat drsnosti během výpočtu zůstává zachována.

### Použité drsnosti dle Manninga v korytě

| Popis                | n             |
|----------------------|---------------|
| Beton v dobrém stavu | 0,020         |
| Beton starý          | 0,035         |
| dlažba               | 0,025 - 0,045 |
| tráva                | 0,035 - 0,045 |
| keře                 | 0,060 - 0,090 |

### Použité drsnosti dle Manninga v inundaci

| Popis                            | n                                      |
|----------------------------------|--|
| silnice chodníky - asfalt, beton | 0,020 - 0,025                          |
| cesta                            | 0,035 - 0,040                          |
| louky, pole                      | 0,035 - 0,045                          |
| stromy, keře                     | 0,060 - 0,120                          |
| hustý porost                     | 0,120 - 0,160                          |
| zahrady s ploty, zástavba        | 0,160 - 0,200 nebo vypuštěné z výpočtu |

## 5.2.3 Hodnoty okrajových podmínek

Dolní okrajová podmínka byla stanovena v počátečním profilu řešeného úseku – profil PT02, ř. km 87,540. Pro řešený úsek jsou k dispozici průtoky pro  $Q_5$ ,  $Q_{20}$ ,  $Q_{100}$  a  $Q_{500}$ . Jejich hodnoty jsou v následující tabulce č.5. Hladiny k nim byly určeny z výsledků původní studie a lze je odečíst z výsledného výpočtového modelu.

Tabulka č.5 - N-leté povodňové průtoky uvažované při hydraulickém řešení

| profil DOP/N- leté průtoky $Q_N$ | Úsek toku (km od - do) | $Q_5$ | $Q_{20}$ | $Q_{100}$ | $Q_{500}$ | Poznámka |
|----------------------------------|------------------------|-------|----------|-----------|-----------|----------|
| profil PT02, ř. km 87,540        | 87,540–87,938          | 27    | 47,3     | 81,3      | 129       |          |

## 5.2.4 Hodnoty počátečních podmínek

Jak již bylo řečeno dříve, počáteční podmínky se v případě ustáleného nerovnoměrného proudění nezadávají.

## 5.2.5 Diskuze k nejistotám a úplnosti vstupních dat

Vstupní data byla pro zpracování studie dostatečná

### 5.3 Popis kalibrace modelu

Jak již bylo uvedeno výše, pro kalibraci modelu nebyly k dispozici kvalitní podklady, tedy dostatek povodňových značek. Z extrémní povodně v roce 2002 byly ale všechny dostupné povodňové značky použity. Z těchto značek byl sestaven podélný profil obou povodní a výpočty byly na tento podélný profil kalibrovány.

## 6 Výstupy z modelu

Hlavním výstupem z matematického modelu je psaný podélný profil, jež je zpracován pro všechny průtokové epizody a jež je hlavním nástrojem pro tvorbu záplavových čar. Psaný podélný profil kromě vypočtené úrovni hladiny obsahuje i informaci o výšce dna (nejhlubší dno), úroveň levého a pravého břehu (břehová hrana) a dále úrovni spodní hrany mostovky mostních objektů. Profil je doplněn o poznámku, upřesňující umístění daného příčného řezu.

Psaný podélný profil je uveden

***Hladiny n-letých průtoků***

| Profil                 | ř.km objektů | Kóta dna | Levý břeh | Pravý břeh | Z5       | Q5     | Z20      | Q20    | Z100     | Q100   | Z500     | Q500   | Kóta mostovky | Popis objektu            |
|------------------------|--------------|----------|-----------|------------|----------|--------|----------|--------|----------|--------|----------|--------|---------------|--------------------------|
|                        | [km]         | [m n.m.] | [m n.m.]  | [m n.m.]   | [m n.m.] | [m3/s] | [m n.m.]      |                          |
| PT02                   | 87,540       | 466,80   | 468,81    | 468,19     | 468,18   | 27,0   | 468,65   | 47,3   | 469,04   | 81,3   | 469,38   | 129,0  |               |                          |
| PT03                   | 87,860       | 467,61   | 469,12    | 469,25     | 469,26   | 27,0   | 469,50   | 47,3   | 469,79   | 81,3   | 470,11   | 129,0  |               |                          |
| PT04                   | 88,220       | 468,01   | 470,31    | 470,29     | 469,69   | 20,9   | 469,88   | 39,4   | 470,14   | 69,8   | 470,43   | 110,0  |               |                          |
| PT05                   | 88,470       | 468,43   | 470,58    | 470,62     | 469,86   | 20,9   | 470,06   | 39,4   | 470,31   | 69,8   | 470,59   | 110,0  |               |                          |
| PT06                   | 88,770       | 468,80   | 472,76    | 472,76     | 471,10   | 20,9   | 471,49   | 39,4   | 471,76   | 69,8   | 471,97   | 110,0  | 471,79        | Tachov - mostek          |
| MT02d                  | 89,075       | 471,22   | 474,88    | 474,78     | 472,21   | 20,9   | 472,59   | 39,4   | 472,90   | 69,8   | 473,16   | 110,0  |               |                          |
| MT02                   | 89,080       | 471,22   | 474,88    | 474,78     | 472,22   | 20,9   | 472,59   | 39,4   | 472,90   | 69,8   | 473,16   | 110,0  | 473,90        | Tachov - mostek          |
| MT02h                  | 89,090       | 471,48   | 473,43    | 473,61     | 472,24   | 20,9   | 472,61   | 39,4   | 472,92   | 69,8   | 473,18   | 110,0  |               |                          |
| PT08                   | 89,560       | 471,48   | 473,43    | 473,61     | 473,30   | 20,9   | 473,53   | 39,4   | 473,71   | 69,8   | 473,86   | 110,0  |               |                          |
| ZT04                   | 89,950       | 473,33   | 478,75    | 478,75     | 474,79   | 20,9   | 475,16   | 39,4   | 475,57   | 69,8   | 476,00   | 110,0  | 478,08        | Tachov - železniční most |
| ZT04h                  | 89,960       | 473,80   | 475,07    | 476,88     | 475,27   | 20,9   | 475,57   | 39,4   | 475,92   | 69,8   | 476,33   | 110,0  |               |                          |
| MT06d                  | 90,048       | 473,80   | 475,07    | 476,88     | 475,27   | 20,9   | 475,57   | 39,4   | 475,92   | 69,8   | 476,33   | 110,0  |               |                          |
| MT06                   | 90,070       | 473,89   | 476,97    | 476,97     | 475,31   | 20,9   | 475,83   | 39,4   | 477,06   | 69,8   | 477,35   | 110,0  | 476,00        | Tachov - most            |
| MT06h                  | 90,074       | 473,88   | 475,94    | 476,10     | 475,31   | 20,9   | 475,83   | 39,4   | 477,06   | 69,8   | 477,35   | 110,0  |               |                          |
| JT07d                  | 90,130       | 473,81   | 475,87    | 476,03     | 475,32   | 20,9   | 475,84   | 39,4   | 477,08   | 69,8   | 477,37   | 110,0  |               |                          |
| JT07                   | 90,132       | 474,27   | 475,61    | 476,03     | 475,52   | 20,9   | 475,92   | 39,4   | 477,08   | 69,8   | 477,37   | 110,0  |               | Tachov - jez             |
| JT07h_rozsir_a_prohlob | 90,135       | 473,99   | 476,18    | 476,29     | 475,52   | 20,9   | 475,92   | 39,4   | 477,08   | 69,8   | 477,37   | 110,0  |               |                          |
| MT08d                  | 90,235       | 473,99   | 476,18    | 476,29     | 476,06   | 20,9   | 476,47   | 39,4   | 477,21   | 69,8   | 477,55   | 110,0  |               |                          |
| MT08                   | 90,240       | 474,93   | 476,82    | 476,93     | 476,09   | 20,9   | 476,49   | 39,4   | 477,22   | 69,8   | 477,56   | 110,0  | 478,08        | Tachov - lávka           |
| MT08h                  | 90,245       | 474,97   | 476,60    | 477,09     | 476,10   | 20,9   | 476,51   | 39,4   | 477,23   | 69,8   | 477,57   | 110,0  |               |                          |
| PT10                   | 90,420       | 474,97   | 476,60    | 477,09     | 476,57   | 20,9   | 477,10   | 39,4   | 477,70   | 69,8   | 478,03   | 110,0  |               |                          |
| MT09d                  | 90,480       | 474,97   | 476,60    | 477,09     | 476,67   | 20,9   | 477,20   | 39,4   | 477,78   | 69,8   | 478,15   | 110,0  |               |                          |
| MT09                   | 90,498       | 475,49   | 477,29    | 477,53     | 476,70   | 20,9   | 477,23   | 39,4   | 477,81   | 69,8   | 478,19   | 110,0  | 478,64        | Tachov - lávka           |
| MT09h                  | 90,510       | 475,54   | 477,34    | 477,58     | 476,74   | 20,9   | 477,29   | 39,4   | 477,85   | 69,8   | 478,22   | 110,0  |               |                          |
| MT10d                  | 90,580       | 475,54   | 477,34    | 477,58     | 476,99   | 20,9   | 477,60   | 39,4   | 478,09   | 69,8   | 478,41   | 110,0  |               |                          |
| MT10                   | 90,600       | 475,55   | 478,65    | 478,51     | 477,00   | 20,9   | 477,61   | 39,4   | 478,12   | 69,8   | 478,51   | 110,0  | 477,85        | Tachov - most            |
| MT10h                  | 90,605       | 475,56   | 478,66    | 478,52     | 477,00   | 20,9   | 477,61   | 39,4   | 478,12   | 69,8   | 478,51   | 110,0  |               |                          |
| MT11d                  | 90,755       | 475,89   | 480,01    | 479,99     | 477,18   | 20,9   | 477,81   | 39,4   | 478,41   | 69,8   | 478,95   | 110,0  |               |                          |
| MT11                   | 90,760       | 475,89   | 480,01    | 479,99     | 477,18   | 20,9   | 477,81   | 39,4   | 478,42   | 69,8   | 478,96   | 110,0  | 479,23        | Tachov - most            |
| MT11h                  | 90,765       | 475,86   | 479,98    | 479,96     | 477,19   | 20,9   | 477,82   | 39,4   | 478,43   | 69,8   | 478,98   | 110,0  |               |                          |

TVORBA MAP POVODŇOVÉHO NEBEZPEČÍ A POVODŇOVÝCH RIZIK V OBLASTECH POVODÍ HORNÍ VLTAVY, BEROUNKY A DOLNÍ VLTAVY  
 B. TECHNICKÁ ZPRÁVA – HYDRODYNAMICKÉ MODELY A MAPY POVODŇOVÉHO NEBEZPEČÍ

| Profil | ř.km objektů | Kóta dna | Levý břeh | Pravý břeh | Z5       | Q5     | Z20      | Q20    | Z100     | Q100   | Z500     | Q500   | Kóta mostovky | Popis objektu   |
|--------|--------------|----------|-----------|------------|----------|--------|----------|--------|----------|--------|----------|--------|---------------|-----------------|
|        | [km]         | [m n.m.] | [m n.m.]  | [m n.m.]   | [m n.m.] | [m3/s] | [m n.m.]      |                 |
| MT12d  | 90,870       | 475,86   | 479,98    | 479,96     | 477,37   | 20,9   | 478,02   | 39,4   | 478,72   | 69,8   | 479,41   | 110,0  |               |                 |
| MT12   | 90,890       | 475,85   | 479,85    | 479,41     | 477,37   | 20,9   | 478,02   | 39,4   | 479,03   | 69,8   | 479,58   | 110,0  | 478,23        | Tachov - most   |
| MT12h  | 90,895       | 475,87   | 479,26    | 477,44     | 477,37   | 20,9   | 478,02   | 39,4   | 479,03   | 69,8   | 479,58   | 110,0  |               |                 |
| PT13   | 90,980       | 476,21   | 479,60    | 477,78     | 477,59   | 20,9   | 478,19   | 39,4   | 479,12   | 69,8   | 479,64   | 110,0  |               |                 |
| MT13d  | 91,150       | 476,64   | 480,03    | 478,21     | 478,09   | 20,9   | 478,63   | 39,4   | 479,38   | 69,8   | 479,90   | 110,0  |               |                 |
| MT13   | 91,160       | 476,67   | 479,72    | 479,72     | 478,66   | 20,9   | 478,89   | 39,4   | 479,47   | 69,8   | 479,91   | 110,0  | 479,22        | Tachov - mostek |
| MT13h  | 91,163       | 476,69   | 480,11    | 479,62     | 478,66   | 20,9   | 478,89   | 39,4   | 479,47   | 69,8   | 479,91   | 110,0  |               |                 |
| PT14   | 91,340       | 478,06   | 481,48    | 480,99     | 479,28   | 20,9   | 479,69   | 39,4   | 480,34   | 69,8   | 480,75   | 110,0  |               |                 |
| MT14d  | 91,348       | 478,27   | 480,42    | 480,42     | 480,19   | 20,9   | 480,70   | 39,4   | 480,95   | 69,8   | 481,19   | 110,0  |               |                 |
| MT14   | 91,350       | 478,27   | 480,42    | 480,42     | 480,19   | 20,9   | 480,71   | 39,4   | 480,95   | 69,8   | 481,19   | 110,0  | 480,19        | Tachov - mostek |
| MT14h  | 91,353       | 478,28   | 480,43    | 480,43     | 480,19   | 20,9   | 480,71   | 39,4   | 480,95   | 69,8   | 481,19   | 110,0  |               |                 |
| JT15d  | 91,590       | 478,85   | 481,45    | 481,97     | 480,70   | 20,9   | 481,24   | 39,4   | 481,58   | 69,8   | 481,82   | 110,0  |               |                 |
| JT15   | 91,595       | 480,63   | 481,64    | 481,97     | 481,25   | 20,9   | 481,41   | 39,4   | 481,61   | 69,8   | 481,82   | 110,0  |               | Tachov - jez    |
| JT15h  | 91,597       | 479,13   | 481,64    | 481,97     | 481,25   | 20,9   | 481,41   | 39,4   | 481,61   | 69,8   | 481,82   | 110,0  |               |                 |
| PT16   | 91,960       | 481,54   | 486,61    | 483,09     | 482,58   | 20,0   | 482,95   | 37,5   | 483,28   | 66,5   | 483,53   | 104,0  |               |                 |
| JT16d  | 92,335       | 482,74   | 484,84    | 484,86     | 483,90   | 20,0   | 484,38   | 37,5   | 484,94   | 66,5   | 485,24   | 104,0  |               |                 |
| JT16   | 92,340       | 484,12   | 484,84    | 484,86     | 484,76   | 20,0   | 484,99   | 37,5   | 485,11   | 66,5   | 485,25   | 104,0  |               | Tachov - jez    |
| JT16h  | 92,342       | 484,13   | 486,57    | 485,08     | 484,76   | 20,0   | 484,99   | 37,5   | 485,11   | 66,5   | 485,25   | 104,0  |               |                 |
| PT17   | 92,480       | 484,77   | 487,21    | 485,72     | 485,63   | 20,0   | 485,85   | 37,5   | 486,00   | 66,5   | 486,15   | 104,0  |               |                 |
| PT18   | 92,870       | 486,80   | 488,26    | 488,43     | 488,07   | 20,0   | 488,28   | 37,5   | 488,50   | 66,5   | 488,69   | 104,0  |               |                 |
| PT19   | 93,090       | 488,76   | 492,02    | 492,02     | 489,78   | 20,0   | 490,23   | 37,5   | 490,76   | 66,5   | 491,14   | 104,0  |               |                 |
| MT17d  | 93,093       | 488,76   | 492,02    | 492,02     | 489,79   | 20,0   | 490,30   | 37,5   | 490,94   | 66,5   | 491,66   | 104,0  |               |                 |
| MT17   | 93,095       | 488,76   | 492,02    | 492,02     | 489,80   | 20,0   | 490,34   | 37,5   | 491,07   | 66,5   | 492,01   | 104,0  | 491,40        | Světce - mostek |
| MT17h  | 93,098       | 488,78   | 491,15    | 491,11     | 489,80   | 20,0   | 490,34   | 37,5   | 491,07   | 66,5   | 492,01   | 104,0  |               |                 |
| JT18d  | 93,374       | 490,92   | 493,29    | 493,25     | 492,04   | 19,2   | 492,57   | 36,1   | 493,32   | 64,1   | 493,79   | 100,0  |               |                 |

## 6.1 Záplavové čáry pro průtoky $Q_5$ , $Q_{20}$ , $Q_{100}$ a $Q_{500}$

Z vypočítaných úrovní hladiny v jednotlivých profilech byl interpretován průběh záplavové čáry. Z tohoto znázornění a z průběhu hladin v podélém profilu je patrný rozsah zatápěných ploch a objektů. Dále se tímto způsobem zjistí překážky průtoku, které působí patrné vzdutí hladiny, jejichž odstraněním nebo rekonstrukcí je možno rozsah zátop redukovat.

Záplavové čáry jsou vyneseny na podkladě rastrové Základní mapy ČR v měřítku 1 : 10 000. Zakreslení záplavových čar, zejména mimo zaměřené příčné profily, zahrnuje nepřesnosti použité mapy. Snahou vyeliminovat nepřesnosti je užití bodového pole z DMT mimo zaměřené příčné profily. Při posouzení konkrétního místa je tedy rozhodující kóta hladiny odvozená z podélného profilu a skutečná nadmořská výška terénu posuzovaného místa.

Při aplikaci výsledků výpočtu je nutno si uvědomit, že přírodní třírozměrný v čase proměnný děj je popisován stacionárním jednorozměrným matematickým výpočtem s použitím mnoha zjednodušujících předpokladů a odhadů. Přesnost výpočtu je limitována zejména hustotou příčných profilů použitych k výpočtu a odhadem drsnostního součinitele.

Hodnoty úrovně hladin získané interpolací mezi jednotlivými výpočtovými příčnými profily nemusí odpovídat skutečnosti.

Nejsou zde postiženy jevy běžně se vyskytující při povodních - hladina v inundaci nemusí být v jednom příčném profilu stejná jako v korytě, v obloucích dochází k příčnému převýšení hladiny, hladina je rozvlněná, atd.

Výpočet je proveden pro ideální stav koryta. Není započítáno upcpání průtočného profilu plaveným materiélem, které hrozí zejména v mostních profilech. Livil na proudění má i sezónní stav vegetačního pokryvu.

Výsledky tohoto výpočtu nejsou neměnné. Může dojít ke změnám vlivem zpřesnění topografických podkladů, změny hydrologických údajů, použitím přesnějších výpočetních modelů, nebo vlivem změn v průtočném profilu toku.

## 6.2 Hloubky pro průtoky $Q_5$ , $Q_{20}$ , $Q_{100}$ a $Q_{500}$

Pro tvorbu mapy hloubek byl použit program Atlas - DMT s podkladem modelu terénu DMR 5G a vypočtenými hladinami v jednotlivých profilech. Průnikem obou modelů vzniky dva výstupy, mapa hladin a mapa hloubek. Jak již bylo popsáno výše, v prvním kroku vznikne hrubá mapa hloubek, která je jedním z podkladů pro určení průběhu záplavových čar. Skutečná záplava se ale od tohoto výstupu liší a slouží následně k jeho oříznutí. Oříznutím hrubé mapy hloubek polygonem záplavové čáry vzniká již čistá mapa hloubek i mapa hladin.

## 6.3 Rychlosti pro průtoky $Q_5$ , $Q_{20}$ , $Q_{100}$ a $Q_{500}$

Při výpočtu nerovnoměrného proudění byly z výpočetního programu Hydrocheck exportovány pro jednotlivé profily a jednotlivé průtokové epizody průměrné celoprofilové rychlosti. Tako získaná hodnota rychlosti pak byla v GIS přiřazena jako bodová informace průsečíku daného příčného řezu a osy toku. Pro každý profil a jednu průtokovou epizodu tak byla získána informace o rychlosti, celkem tedy pro každý profil 4 hodnoty rychlosti ( $Q_5$  –  $Q_{500}$ ).

## 6.4 Zhodnocení nejistot ve výsledcích výpočtu

Jak bylo uvedeno výše, výpočetní model 1D je vždy schematizací skutečnosti. Hlavní míra nejistoty však neplyne ze špatného odhadu drsnostních charakteristik, nebo nedostatečně popsané topologie území a koryta, ale ze vstupních průtokových dat, jejichž přesnost je nezřídka v rozmezí  $\pm 40$  – 60% dle uvedené třídy přesnosti. Dalším již zmíněným faktorem, s ním model nepočítá, je množství plavenin, které postupují tokem při povodni, ať už se jedná například o ledové kry nebo antropogenní materiál či dřevní hmotu. Tyto plaveniny, pak zejména v prostoru objektů mohou způsobit naprostě převratné změny průtočného profilu (částečné nebo úplné upcpání), které pak mají na průběh hladiny zásadní vliv.

Pokud však odhlédneme od nejistot způsobených nepřesnými hydrologickými daty a budeme vztahovat rozsah záplavového území ke konkrétnímu průtoku (a nikoliv k deklarované četnosti povodně) a budeme postupovat v souladu s Metodikou stanovení SZÚ, tedy výpočet bez plavenin, můžeme konstatovat, že vypovídací schopnost modelu je značně vysoká. Největší ovlivnění hladin nastává v místech objektů, jejichž nesprávné posouzení, či špatně provedený výpočet ve vztahu k zatopení dolní vodou, má na úroveň hladiny zásadní vliv. Poměrně významné je i ovlivnění výpočtu chybně umístěnými dílčími profily v příčném řezu, naopak chybný odhad drsnosti byť v rádu desítek procent se ve volné trati dramaticky neprojeví.